

# การพัฒนาวงจรกรองผ่านแคบความถี่กว้างบนไมโครสตริปโดยใช้ระบบกราวด์มีรอยและสตับ<sup>†</sup>

## Development of Wideband Microstrip Bandpass Filters Using DGS and Stub

ณัฐพงศ์ บุตรธนู<sup>1</sup>, นิวัติ์ อังควิคิชลพันธ์<sup>1\*</sup>, ศราวุธ ชัยมูล<sup>2</sup>

Nuttapong Bootthanu<sup>1</sup>, Niwat Angkawisitpan<sup>1\*</sup>, Sarawuth Chaimool<sup>2</sup>

<sup>1</sup>หน่วยปฏิบัติการวิจัยแม่เหล็กไฟฟ้าเชิงคำนวณและระบบเชิงแสง คณะวิศวกรรมศาสตร์ มหาวิทยาลัยมหาสารคาม ตำบลขามเรียง อำเภอแก้งคร้อ จังหวัดมหาสารคาม 44150

<sup>2</sup>ภาควิชาวิศวกรรมไฟฟ้า คณะวิศวกรรมศาสตร์ มหาวิทยาลัยขอนแก่น 123 หมู่ 16 ถนนมิตรภาพ ตำบลในเมือง อำเภอเมือง จังหวัดขอนแก่น 40002

<sup>1</sup>Research Unit for Computational Electromagnetics and Optical Systems (CEMOS),

Faculty of Engineering, Mahasarakham University, Kantarawichai, Maha Sarakham 44150, Thailand.

<sup>2</sup>Department of Electrical Engineering, Faculty of Engineering, Khon Kaen University, Nai-Muang, Muang District, Khon Kaen 40002, Thailand.

\*Corresponding author. Tel.: +668 1661 5995, E-mail: niwat.a@msu.ac.th

### บทคัดย่อ

บทวนนี้นำเสนอการพัฒนาวงจรกรองผ่านแคบความถี่กว้างด้วยระบบกราวด์มีรอยโครงสร้างเดือยพับแขน และสตับ ระบบกราวด์มีรอยโครงสร้างเดือยพับแขนทำให้เกิดเรโซแนนท์ที่ความถี่ 2.1 GHz และ 3.3 GHz ตามลำดับ วงจรกรองผ่านแคบความถี่กว้างร่วมกับระบบกราวด์มีรอยโครงสร้างเดือยพับแขนและสตับมีผลการวัดทดสอบวงจรจริงได้ความถี่กลางที่ 2.89 GHz แบนด์วิดท์กว้าง 64.70 % ค่าสัมประสิทธิ์การส่งผ่าน  $S_{21}$  เท่ากับ -3 dB และค่าสัมประสิทธิ์การสะท้อนกลับ  $S_{11}$  เท่ากับ -16 dB และสามารถลดขนาดค่าสัมประสิทธิ์การส่งผ่านที่ช่วงความถี่าร์มอนิกส์ในช่วงความถี่ 4.5 GHz ถึง 8.0 GHz ถึงระดับ -15 dB ซึ่งพบว่าการจำลองการทำงานและการวัดทดสอบวงจรจริง มีความสอดคล้องกันเป็นอย่างดี

**คำสำคัญ:** วงจรกรองผ่านแคบความถี่กว้าง โครงสร้างกราวด์มีรอย ไมโครสตริป สตับ

### ABSTRACT

This research paper proposed the development of wideband microstrip bandpass filters using defected ground structure (DGS) with folded spurline structure and stub. DGS with folded spurline structure provided the resonant frequencies at 2.1 GHz and 3.3 GHz, respectively. From the measured results of the proposed filters, it obtained the center

†บทความจากงานประชุมวิชาการระดับชาติสร้างสรรค์ครั้งที่ 2  
ราชมงคลรุ่งเทพร่วม ระหว่างวันที่ 24-26 กรกฎาคม 2561

Received 24-08-2018  
Revised 08-11-2018  
Accepted 12-11-2018

frequency of 2.89 GHz with a wide bandwidth of 64.70 %, the transmission coefficients  $S_{21}$  of -3 dB and reflection coefficients  $S_{11}$  of -16 dB. The transmission coefficients  $S_{21}$  were reduced to -15 dB at the stopband of 4.5 - 8.0 GHz. The simulated results and experimental results were in good agreement.

**Keywords:** Wideband bandpass filters, Defected ground structure, Microstrip, Stub

## 1. บทนำ

ในปัจจุบันพลังงานไฟฟ้า และระบบการสื่อสารแบบไร้สายมีความจำเป็นต่อมนุษย์ และการเจริญเติบโตทางด้านอุตสาหกรรม เช่น การสื่อสารโทรศัพท์เคลื่อนที่ระบบอินเตอร์เน็ต เป็นต้น [1-3] ส่วนประกอบหนึ่งของระบบสื่อสารที่ใช้งานอย่างแพร่หลาย คือ วงจรกรองผ่านແບ蔻ความถี่ ลักษณะของวงจรที่ดีมีองค์ประกอบดังต่อไปนี้ ออกแบบง่าย ราคาถูก ขนาดเล็กกะทัดรัด วงจร มีความสูญเสียต่ำ การตอบสนองความถี่ที่ดี รวมถึงวงจรอยู่ในระนาบเดียวกัน [4-6] การสื่อสารของวงจรกรองผ่านແບ蔻ความถี่ก็ว่างเป็นความก้าวหน้าของเทคโนโลยีการสื่อสารแบบไร้สาย เช่น การสื่อสารบลูทูธ หมายความรับเข้ามต่ออุปกรณ์หนึ่งไปยังอีกอุปกรณ์หนึ่งโดยไม่ใช้สายสำหรับการรับ-ส่งข้อมูลต่าง ๆ เช่น ภาพนิ่ง ภาพเคลื่อนไหว และเสียง เป็นต้น [7] การสื่อสารย่านไมโครเวฟที่ผ่านมา มีประสิทธิภาพสูง จะมีข้อกำหนดของวงจรกรองความถี่กับสายอากาศ เพราะในสายอากาศเป็นส่วนที่รับสัญญาณ และมีແບ蔻ความถี่ที่ไม่ต้องการ จึงจำเป็นต้องใช้วงจรกรองผ่านແບ蔻ความถี่คัดกรองก่อน [8-9] วงจรกรองผ่านແບ蔻ความถี่ก็ว่างมีการออกแบบอย่างถูกต้องเทคนิคโดยเฉพาะเทคนิคโครงสร้างกราวด์มีรอย (Defected ground structure: DGS) [10] เป็นเทคนิคที่ได้รับความนิยมนำมาออกแบบมากกว่าเทคนิคอื่น ๆ เพราะสามารถเพิ่มพารามิเตอร์เพื่อลดขนาดค่าสัมประสิทธิ์การส่งผ่านที่ช่วงความถี่ยาร์มอนิกส์ได้

วรรณกรรมที่ทบทวนดังต่อไปนี้ทราบได้ว่า วงจรกรองผ่านແບ蔻ความถี่โมดูลคู่สองความถี่ โดยการโครงสร้างสีโมดเป็นแบบคู่ขนาดกันทำการต่อลงกราวด์ที่ปลายสายของสตับทั้งสองข้างร่วมกับระนาบกราวด์มีรอยโครงสร้างสีเหลี่ยม เนื่องจากโครงสร้างเป็นแบบคู่ขนาดทำให้ขนาดของวงจรมีขนาดใหญ่ [11] ต่อมามีการนำเสนอการออกแบบวงจรโครงสร้างวงแหวนสามโมด สำหรับวงจรกรองผ่านແບ蔻ความถี่ก็ว่างไมโครสตริป ผลลัพธ์คือ วงจรกรองผ่านແບ蔻ความถี่ก็ว่าง แต่ช่วงนอกความถี่ใช้งานยังไม่สามารถลดขนาดค่าสัมประสิทธิ์การส่งผ่านที่ช่วงความถี่ยาร์มอนิกส์ได้ ดังนั้นจึงได้มีการนำเสนอการออกแบบวงจรสองวงจรตัวต่อเรียงกันทำให้วงจรนั้นมีขนาดใหญ่ขึ้น [12] ต่อมามีการนำเสนอวงจรกรองผ่านແບ蔻ความถี่ก็ว่างบนพื้นฐานสีโมดโครงสร้างวงแหวน และเข้ามต่อโครงสร้างตัวยูทางด้านอินพุตและเอาท์พุต เพื่อลดขนาดค่าสัมประสิทธิ์การส่งผ่านที่ช่วงความถี่ยาร์มอนิกส์ การเพิ่มโครงสร้างทางด้านอินพุตและเอาท์พุต ทำให้วงจร มีขนาดใหญ่ขึ้น [13] ต่อมามีการนำเสนอวงจรกรองผ่านແບ蔻ความถี่โมดคู่สองความถี่โครงสร้างระนาบกราวด์มีรอยโครงสร้างที่เล็ก แต่แบบดีวิดท์แแคบ [14] ต่อมามีการนำเสนอวงจรกรองผ่านແບ蔻ความถี่โมดคู่สองความถี่ ออกแบบวงจรสีโมดโครงสร้างเป็นแบบคู่ขนาดกันทำการต่อลงกราวด์ที่ปลายสายของสตับทั้งสองข้างร่วมกับระนาบกราวด์มีรอยโครงสร้างสีเหลี่ยม เนื่องจากโครงสร้างเป็นแบบคู่ขนาดทำให้ขนาดของ

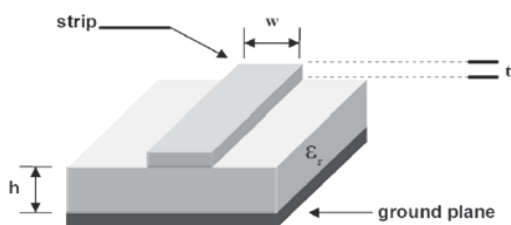
วงจรเมื่นขนาดใหญ่ [15] ต่อมามีการนำเสนอวงจรกรองผ่านแบบความถี่โครงสร้างวงแหวน ร่วมกับระนาบกราวด์มีรอยตรงข้ามกับพอร์ตอินพุต และเอาต์พุต การทำระนาบกราวด์มีรอยทำให้วงจรเมื่นขนาดเล็ก และโครงสร้างวงแหวนทำให้แบบดิจิตที่กว้าง [16] ต่อมามีการนำเสนอการออกแบบแบบจำลองวงจรกรองผ่านแบบความถี่หลายความถี่โครงสร้างพื้นที่ร่วมกับระนาบกราวด์ มีรอยโครงสร้างตัวยูสามารถลดขนาดของวงจรและประยุกต์ใช้งานในย่านความถี่ C Band คือ 4.0 GHz ถึง 8.0 GHz [17]

จากการทบทวนวรรณกรรมที่ผ่านมาแล้วทำให้ทราบถึงข้อดีข้อด้อยของวงจรกรองผ่านแบบความถี่ที่ออกแบบวงจรด้วยเทคนิคโครงสร้างระนาบกราวด์มีรอย ทำให้ในที่ความนี้นำข้อด้อยของวงจรนำมาพัฒนาเพื่อเพิ่มประสิทธิภาพของวงจร โดยพัฒนาวงจรโครงสร้างสตับร่วมกับระนาบกราวด์ มีรอยโครงสร้างเดียวกับพื้นที่ช่องบนพื้นฐานวงจรโมดูลัส ผลลัพธ์คือมีช่วงแบบดิจิตที่กว้าง และลดขนาดค่าสัมประสิทธิ์การส่งผ่านที่ช่วงความถี่ยาร์มอนิกส์ และขนาดของวงจรเมื่นขนาดเล็กกะทัดรัด

## 2. การพัฒนาวงจรกรองผ่านแบบความถี่

### 2.1 สายนำสัญญาณไมโครสเตรป

เป็นสายนำสัญญาณที่นิยมใช้งานมาก สำหรับการพัฒนา และออกแบบวงจรกรองความถี่สายอากาศ วงจรขยายสัญญาณ วงจรอสซิลเลเตอร์ และวงจรมิกเซอร์ เป็นต้น [18-20] สายนำสัญญาณไมโครสเตรป มีโครงสร้างบนแผ่นวงจรพิมพ์ ดังภาพที่ 1



ภาพที่ 1 โครงสร้างสายนำสัญญาณไมโครสเตรป [21]

จากภาพที่ 1 โครงสร้างสายนำสัญญาณไมโครสเตรปมีค่าไดอิเล็กตริก เท่ากับ  $\epsilon_r$ , วัสดุฐานรองเท่ากับ  $h$  แผ่นทองแดงด้านบน คือสายนำสัญญาณด้านล่าง คือระนาบกราวด์ เท่ากับ  $t$  ความกว้างของสายนำสัญญาณ เท่ากับ  $w$  หาได้จากสมการที่ 1-2

$$\epsilon_{eff} = \frac{\epsilon_r + 1}{2} + \frac{\epsilon_r - 1}{2} \left( 1 + 12 \frac{h}{w} \right)^{-\frac{1}{2}} \text{ เมื่อ } \frac{w}{h} \geq 1 \quad (1)$$

$$Z_o = \frac{\eta}{\sqrt{\epsilon_{eff}}} \left\{ \frac{w}{h} + 1.393 + 0.677 \ln \left( \frac{w}{h} + 1.414 \right) \right\}^{-1} \quad (2)$$

เมื่อ  $\eta$  คือค่าอิมพีเดนซ์ของคลื่นในท่อนำคลื่น มีค่าเท่ากับ  $120\pi$   $\epsilon_{eff}$  คือค่าคงที่ไดอิเล็กตริก ประสิทธิผล  $Z_o$  คือค่าอิมพีเดนซ์ของสายนำสัญญาณไมโครสเตรป มีค่าเท่ากับ  $50\Omega$  และ  $\lambda_g$  คือความยาวคลื่นในอากาศ (m) สามารถหาได้จากสมการที่ 3-4 เมื่อ  $c$  คือความเร็วแสง มีค่าเท่ากับ  $3 \times 10^8$  m/s  $f$  คือความถี่ (Hz)

$$\lambda_g = \frac{c}{f} \quad (3)$$

$$\lambda_g = \frac{\lambda_0}{\sqrt{\epsilon_{eff}}} \quad (4)$$

### 2.2 โครงสร้างระนาบกราวด์มีรอย

การเจาลวดลายลงในระนาบกราวด์ หรือทำให้ระนาบกราวด์มีรอย (DGS) บนแผ่นวงจรพิมพ์โดยจะของแผ่นวงจรจะเปลี่ยนเป็นผลกระทบของตัวเก็บประจุ และตัวเหนี่ยวนำของรูปแบบสายนำสัญญาณไมโครสเตรป บนวงจรไฟฟ้า และการกระจายของกระแสบนระนาบกราวด์ ผลลัพธ์คือ DGS จะแสดงคุณลักษณะคลื่นที่ชาและลดขนาดของสัญญาณในวงจรไมโครเวฟ [22] เนื่องด้วยโครงสร้างเดียวกับพื้นที่ช่องบนพื้นฐานวงจรไมโครเวฟ มีข้อดีคือสามารถหยุดແกบความถี่ในช่วงนอกความถี่ใช้งาน สามารถลดค่า

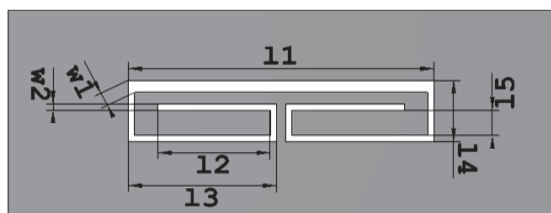
สัมประสิทธิ์การส่งผ่านได้ดี จึงนำมาพัฒนาวงจรโดยการวิเคราะห์ผล คือป้อนอิมพีเดนซ์  $50 \Omega$  เข้าไปในสายนำสัญญาณ (Transmission line:  $TL$ ) ทางด้านอินพุต และเอาต์พุตพลังงานของคลื่นแม่เหล็กไฟฟ้าจะส่งผ่านวัสดุฐานรองบริเวณสายนำสัญญาณระหว่าง DGS โครงสร้างเดียวยพับแขนเกิดการเรโซแนนท์ชีนสองโมด (Dual-mode) คือโมดคู่และโมดคี่ [23] ดังรูปที่ 2 มีค่าไดอิเล็กทริก ( $\epsilon_r$ ) เท่ากับ 2.6 ความหนาของแผ่นทองแดง ( $t$ ) เท่ากับ 0.017 mm. และความสูงของวัสดุฐานรอง ( $h$ ) เท่ากับ 1 mm. มีค่าพารามิเตอร์ ดังตารางที่ 1 สามารถเขียนวงสมมูลของ DGS ดังภาพที่ 3 สมการความถี่เรโซแนนท์ของโมดคู่ (Even mode) และโมดคี่ (Odd mode) ดังสมการที่ 5 – 6

ตารางที่ 1 พารามิเตอร์ของโครงสร้างระนาบกราวด์มีรอยโครงสร้างเดียวยพับแขน

พารามิเตอร์	ขนาด	พารามิเตอร์	ขนาด
w1	1 mm	l3	9.3 mm
w2	0.4 mm	l4	4.3 mm
l1	20 mm	l5	1.7 mm
l2	7.2 mm		

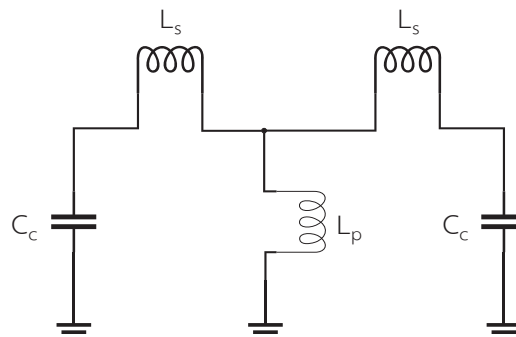
$$f_{even} = \frac{1}{2\pi\sqrt{(L_s + 2L_p)C_c}} \quad (5)$$

$$f_{odd} = \frac{1}{2\pi\sqrt{L_s C_c}} \quad (6)$$



ภาพที่ 2 โครงสร้างระนาบกราวด์มีรอยโครงสร้างเดียวยพับแขน

จากภาพที่ 2 เกิดความถี่เรโซแนนท์ชีนสองโมดที่ความถี่เรโซแนนท์ 2.1 GHz และ 3.3 GHz ตามลำดับจากนั้นทำการปรับความยาว l2 เพื่อทดสอบประสิทธิภาพความสัมพันธ์การเรโซแนนท์ ดังตารางที่ 2

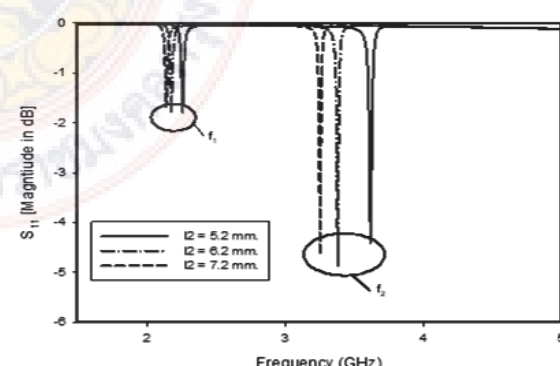


ภาพที่ 3 วงจรสมมูลโครงสร้างระนาบกราวด์มีรอยโครงสร้างเดียวยพับแขน

ตารางที่ 2 ความสัมพันธ์การเรโซแนนท์ของวงจร

$l2$	$f_2$
5.2 mm	3.8 GHz
6.2 mm	3.5 GHz
7.2 mm	3.3 GHz

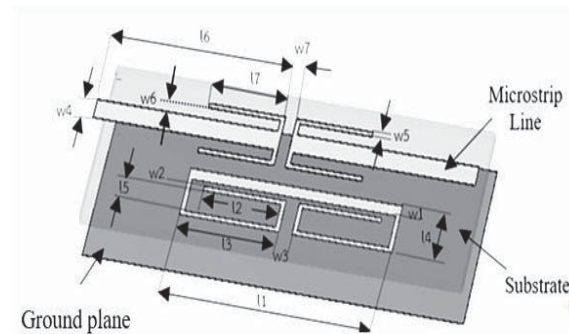
แสดงให้เห็นว่าเมื่อลดลงทำให้ความถี่  $f_2$  ลดลงและ  $l2$  ลดลงทำให้ความถี่  $f_2$  เพิ่มขึ้นโดยมีผลการจำลองการเกิดเรโซแนนท์ทั้งสองที่มีการปรับความยาว  $l2$  ดังภาพที่ 4



ภาพที่ 4 ผลตอบสนองของ S-Parameters จากการจำลองของโครงสร้างระนาบกราวด์มีรอยโครงสร้างเดียวยพับแขนที่มีการปรับความยาว  $l2$

## 2.3 โครงสร้างสตับ

วงจรกรองผ่านແບຄວາມຄືກວ້າງໂຄຮສ້າງສຕັບຮ່ວມກັບຮະນາກຽວດີມີຮອຍໂຄຮສ້າງເດືອຍພັບແຂນ ດັ່ງກາພທີ 5 ມີຄ່າໄດ້ອີເລີກຕິກ ( $\epsilon_r$ ) ເທົກະບ 2.6 ແຜ່ນທອງແດງມີຄວາມໜານ ( $t$ ) ເທົກະບ 0.017 mm. ແລະ ຄວາມສູງຂອງວັສດຸຮູານຮອງ ( $h$ ) ເທົກະບ 1 mm. ມີຄ່າພາຣາມີເຕຼອຮັດຕາຮາງທີ 3



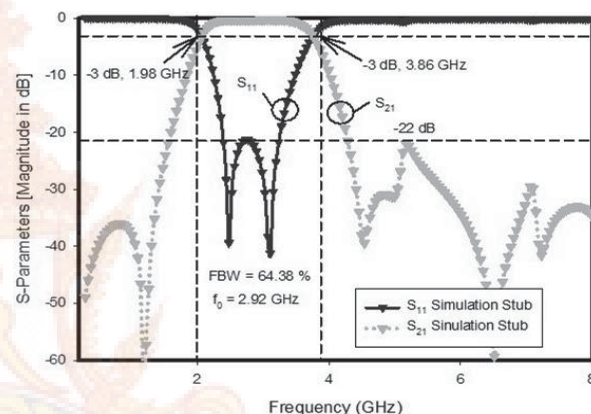
ກາພທີ 5 ວັດຈະການຮັດຕາຮາງທີ 3 ພາຣາມີເຕຼອຮັດຕາຮາງສຕັບຮ່ວມກັບຮະນາກຽວດີມີຮອຍໂຄຮສ້າງເດືອຍພັບແຂນ

ຕາຮາງທີ 3 ພາຣາມີເຕຼອຮັດຕາຮາງສຕັບຮ່ວມກັບຮະນາກຽວດີມີຮອຍໂຄຮສ້າງເດືອຍພັບແຂນ

ພາຣາມີເຕຼອຮັດ	ຂະດ	ພາຣາມີເຕຼອຮັດ	ຂະດ
w1	0.8 mm	l1	19.6 mm
w2	0.4 mm	l2	8.2 mm
w3	0.6 mm	l3	9.3 mm
w4	1.7 mm	l4	4.3 mm
w5	0.4 mm	l5	1.7 mm
w6	1 mm	l6	17 mm
w7	1 mm	l7	7 mm

ການທຳການຂອງວັຈຈະ ອີເລີກຕິກ ( $\epsilon_r$ ) ເທົກະບ 2.6 ແຜ່ນທອງແດງມີຄວາມໜານ ( $t$ ) ເທົກະບ 0.017 mm. ແລະ ຄວາມສູງຂອງວັສດຸຮູານຮອງ ( $h$ ) ເທົກະບ 1 mm. ດັ່ງກາພທີ 7

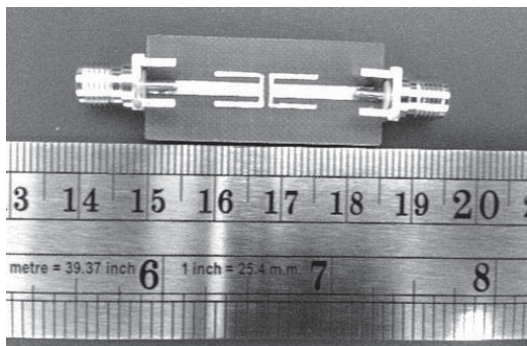
ທີ -40 dB ທີ່ຄວາມຄື 2.47 GHz ໂມດທີ 2 ເກີດຂຶ້ນທີ -43 dB ທີ່ຄວາມຄື 3.11 GHz ແລະ l5 ທຳຫັນທີ່ຄວບຄຸມ ແບນດົວດີທີ່ໃຫ້ກວ້າງຂຶ້ນຫຼືແຄບລົງ ເມື່ອ l5 ມີຄວາມຍາວ ມາກຂຶ້ນ ແບນດົວດີທີ່ຈະແຄບລົງ ເມື່ອ l5 ມີຄວາມຍາວ ລົດລົງ ແບນດົວດີທີ່ຈະກວ້າງມາກຂຶ້ນ ວັດຈະນີ່ມີແບນດົວດີທີ່ ຕັ້ງແຕ່ 1.98 GHz ລຶ້ງ 3.86 GHz ຄວາມຄືກາລົງທີ່ 2.92 GHz ແບນດົວດີທີ່ກວ້າງ (FBW) 64.38 % ໃນໜ່ວຍການຮັດຕາຮາງທີ່ໃຊ້ການ 4.5 GHz ລຶ້ງ 8.0 GHz ສາມາດຮັດຕາສັນປະສົງທີ່ ການສັງເກົ່າທີ່ຂ່າຍຄວາມຄືຂໍາຮົມອົນິກສີໄດ້ລຶ້ງຮະດັບ -22 dB ດັ່ງກາພທີ 6



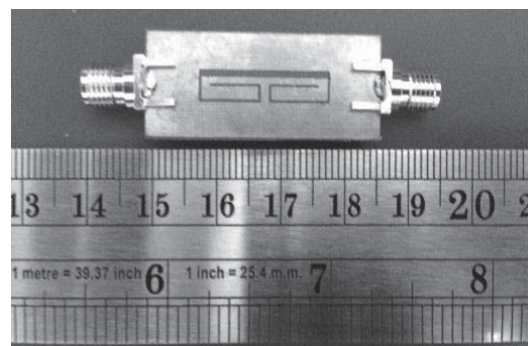
ກາພທີ 6 ຜົດຕອບສັນອອງຂອງ S-Parameters ຈາກການຈຳລອງຂອງວັດຈະການຮັດຕາຮາງສຕັບຮ່ວມກັບຮະນາກຽວດີມີຮອຍໂຄຮສ້າງເດືອຍພັບແຂນ

## 3. ຜົດຕອບສັນອອງ

ເມື່ອຈຳລອງຜົດຕອບສັນອອງ ຮັດຕາຮາງສຕັບຮ່ວມກັບຮະນາກຽວດີມີຮອຍໂຄຮສ້າງເດືອຍພັບແຂນ ຂຶ້ນຕອນຄັດໄປການສ້າງວັດຈະຈາກວັສດຸແພ່ນວັງຈາກພິມພົມ Arlon AD260A ມີຄ່າໄດ້ອີເລີກຕິກ ( $\epsilon_r$ ) ເທົກະບ 2.6 ແຜ່ນທອງແດງມີຄວາມໜານ ( $t$ ) ເທົກະບ 0.017 mm. ແລະ ຄວາມສູງຂອງວັສດຸຮູານຮອງ ( $h$ ) ເທົກະບ 1 mm. ດັ່ງກາພທີ 7



(ก) โครงสร้างด้านบน

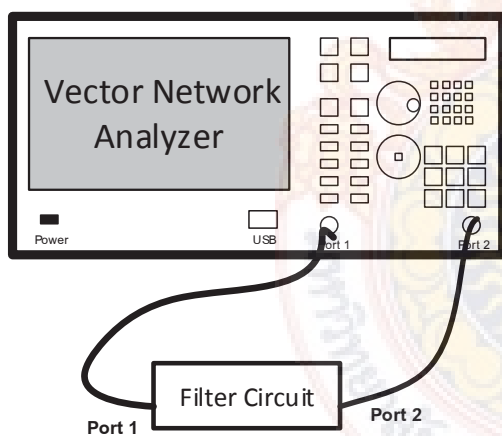


(ข) โครงสร้างด้านล่าง (ระบบกราวด์)

ภาพที่ 7 วงจรกรองผ่านแบบความถี่กว้างโครงสร้างสตับร่วมกับระบบกราวด์มีรอยโครงสร้างเดือยพับแขน

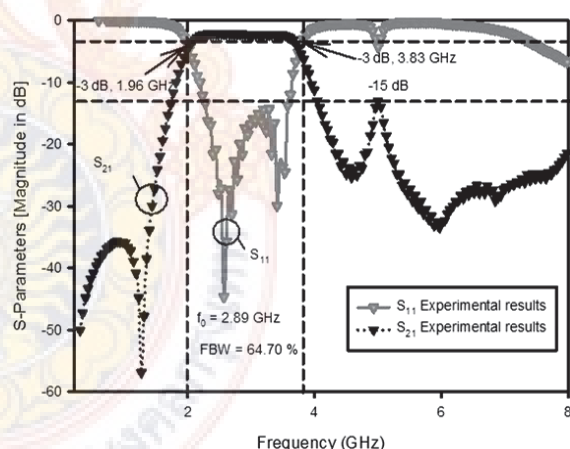
จากภาพที่ 7 นำงจรที่สร้างขึ้นไปวัดค่าสัมประสิทธิ์การส่งผ่าน  $S_{21}$  และค่าสัมประสิทธิ์การสะท้อนกลับ  $S_{11}$  จากเครื่องวิเคราะห์โครงข่ายแบบเวกเตอร์ยี่ห้อ Agilent Keysight รุ่น E5071C ดังภาพที่ 8 ผลลัพธ์คือมีค่าสัมประสิทธิ์การส่งผ่าน  $S_{21}$  เท่ากับ  $-3 \text{ dB}$  และค่าการค่าสัมประสิทธิ์การสะท้อนกลับ  $S_{11}$

เท่ากับ  $-16 \text{ dB}$  มีแบนด์วิดท์ตั้งแต่  $1.96 \text{ GHz}$  ถึง  $3.83 \text{ GHz}$  ความถี่กลางที่  $2.89 \text{ GHz}$  แบนด์วิดท์กว้าง (FBW)  $64.70 \%$  ในช่วงนอกความถี่ใช้งาน  $4.5 \text{ GHz}$  ถึง  $8.0 \text{ GHz}$  สามารถลดค่าสัมประสิทธิ์การส่งผ่านที่ช่วงความถี่ยาร์มอนิกส์ได้ถึงระดับ  $-15 \text{ dB}$  ดังภาพที่ 9



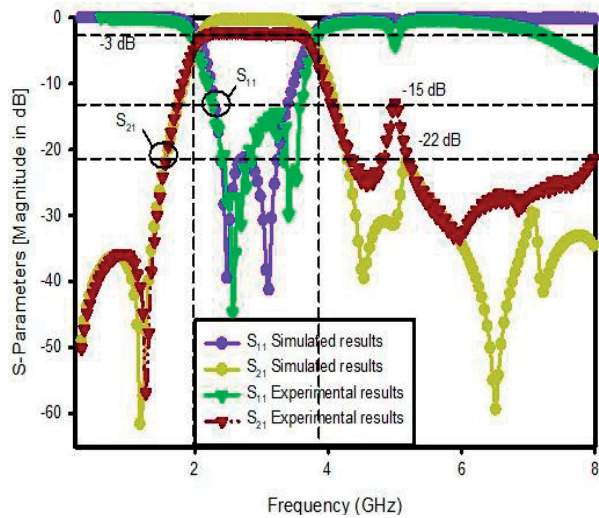
ภาพที่ 8 การวัดวงจรด้วยเครื่องวิเคราะห์โครงข่ายแบบเวกเตอร์

ขั้นตอนถัดไป เปรียบเทียบระหว่างผลการจำลองวงจรกับผลการทดสอบวัดวงจรจริง ผลลัพธ์คือผลการจำลองวงจรกับผลการทดสอบวัดวงจรจริงมี



ภาพที่ 9 ผลการทดสอบวงจรจริงจากเครื่องวิเคราะห์โครงข่ายแบบเวกเตอร์

ความสอดคล้องกับความกว้างของแบนด์วิดท์ (FBW) ต่างกัน  $0.32 \%$  ดังภาพที่ 10



ภาพที่ 10 การเปรียบเทียบผลการทดสอบวัดวงจร จริงกับผลการจำลองของวงจร

#### 4. สรุปผลการทดลอง

ผลการจำลองวงจรกรองผ่านແຕບຄວາມถี่ กວಾงໂຄຣສರ້າງສັບປະກິດກັບຮະນາບກາວດີມີຮອຍ ໂຄຣສර້າງເດືອຍພັບແຂນ ຄວາມຄືກາລາງທີ່ 2.92 GHz ແບນດົວດີທິກວາງ (FBW) 64.38% ສໍາຫຼັບຜຸດການ ທົດສອບວັດວຽງຈະຈິງ ຄວາມຄືກາລາງທີ່ 2.89 GHz ແບນດົວດີທິກວາງ (FBW) 64.70% ຮະຫວ່າງຜຸດ ການຈຳລອງຂອງວັດວຽງກັບຜຸດການ ທົດສອບວັດວຽງຈະຈິງມີຄວາມກວ້າງຂອງແບນດົວດີທິດ (FBW) ຕ່າງກັນ ອູ່ 0.32% ຜຸດການ ທົດສອບມີຄວາມສອດຄລື້ອງກັນ ເປັນອຍ່າງດື່ນາດຂອງວັດວຽງຈະມີຂັາດເລັກກະທັດຮັດ ວັດວຽງທີ່ສ້າງຂຶ້ນມານີ້ມີປະສິທິກາພ ຈາກການ ເປີຍບເຫັນງານວິຈີຍທີ່ຜ່ານມາ ແສດດັ່ງຕາງໆທີ່ 4 ແລະ ການພັ້ນນາໃນອາຄົຕສາມາດນຳເຫັນນີ້ໄປ ໃຫ້ໃນການອົກແບບໃນໜ່ວຍຄວາມຄືອື່ນໆ ແລະ ນຳໄປ ປະຢຸກຕົກກັບວັດວຽງຈະກຽດຫຼຸດແບບຄວາມຄືໃນຢ່ານ ຄວາມຄື C Band 4 GHz ຊົ່ງ 8 GHz ເປັນຕົ້ນ

ตารางที่ 4 เปรียบเทียบคุณสมบัติงานวิจัยที่ผ่านมา

$f_c$ (GHz)	FBW (%)	Size $(\lambda_g)^2$	Out of Band (dB)	Ref.
1.49	56.1	$(0.5\lambda_g)^2$	-20	[7]
1.45	57.9	$(0.8\lambda_g)^2$	-10	[15]
2.54	5.3	$(0.8\lambda_g)^2$	-15	[16]
2.45	32	$(0.68\lambda_g)^2$	-16	[23]
2.27	63.4	$(0.5\lambda_g)^2$	-22	[23]
2.89	<b>64.70</b>	$(0.49\lambda_g)^2$	<b>-15</b>	เทคนิคที่ นำเสนอด

#### 5. กิตติกรรมประกาศ

ขอขอบคุณหน่วยปฏิบัติการวิจัยแม่เหล็ก ໄພົ້າ ເຊີນກຳນວນ ແລະ ຮະບບເຊີງແສງ ຄະະວິສະກຽມ ສາສົຕ່ຽມ ມາວິທຍາລິ້ມຫາສາրຄາມ ແລະ ສາຂາວິຊາ ວິສະກຽມໄພົ້າ ຄະະເທັກໂນໂລຢີ ມາວິທຍາລິ້ມຮາຈກັງ ອຸດຮານີ ທີ່ໄໝການສັນບສຸນສາຖານທີ່ແລະ ເຄື່ອງມືອີນ ການກຳນົດການວິຈີຍ

#### 6. อ้างอิง

- [1] ພຶຣວັຈນ ມີສຸຂ, ກວິນຊ້ຍ ຕ້ອງຕຽບທັງໝົດ, ອນວັດ ມ່ວງໂຄກສູງ ແລະ ຄະນະ. ການທົດສອບ ການພັບປຸງໄພົ້າຂອງເກມໂຄງການໄພົ້າໂມໂລເລັກ ທີ່ໄໝການສັນບສຸນສາຖານທີ່ແລະ ເຄື່ອງມືອີນ ການກຳນົດການວິຈີຍ ນທຣ.ກຣູງເທິ. 2560; 11:62-68.
- [2] ວິຮະສັກດີ ໄຊຍ່າງູ, ຕັກຮາຊ ທອງນອກ, ເພີຍຕີ ອ່ອນຍິ່ງ ແລະ ຄະນະ. ການສຶກສາແລະ ອົກແບບກັ້ງຫັນລົມພັບປຸງໄພົ້ານິດແກນແນວ ຕັ້ງສໍາຫຼັບທີ່ອັຕຣາເຮົວລົມຕໍ່າ. ວັດວຽງຈະກຽດຫຼຸດ ນທຣ. ກຣູງເທິ. 2560; 11:17-25.

- |      |  |  |
|------|--|--|
| [3]  | Singh L., Dr. Singhal PK.. Design and analysis of hairpin line bandpass filter. I.J.A.R.E.C.E. 2013; 2:228-230.  | Using H-Slot Resonators and Coupling Matrix Method. Journal of Microwaves, Optoelectronics and Electromagnetic Applications 2011; 10:193-195.  |
| [4]  | Hong JS. Microstrip Filters for RF/Microwave Applications. 2 <sup>nd</sup> Ed. New Jersey:Wiley; 2011.   | [11] El-Shaarawy BH., Coccetti F. Compact Bandpass Ring Resonator Filter With Enhanced Wide-Band Rejection Characteristics Using Defected Ground Structures. IEEE Microwave and Wireless Components Letters August 2008; 18:500-502. |
| [5]  | Pozar DM. Microwave Engineering. 2 <sup>nd</sup> Ed. New York:Wiley; 1998.   | [12] Srisathit K, Worapishet A, Surakampontorn W. Design of Triple-Mode Ring Resonator for Wideband Microstrip Bandpass Filters. IEEE Transactions on Microwave Theory and Techniques November 2010; 58:2867-2877.                   |
| [6]  | Mattaei GL., Young L., Jones EMT. Microwave Filters Impedance-Matching Network and Coupling Structures. Norwood. MA:Artech House; 1980.  | [13] Fan J., Zhan D., Jin C., et al. Wideband Microstrip Bandpass Filter Based on Quadruple Mode Ring Resonator. IEEE Microwave and Wireless Components Letters 2012; 22:348-350.  |
| [7]  | Ahmadi A., Makki SV., Lalbakhsh A., et al. A Novel Dual-Mode Wideband Bandpass Filter. ACES Journal September 2014; 29:735-742.  | [14] Liu H., Li Sh., Li YS., et al. Dual-mode dual-band bandpass filters design using open-loop slotline resonators. IET Microw, Antennas Propag 2013; 7:1027-1034.  |
| [8]  | Gunjal SR., Pawase R.S., Labade RP. Design and analysis of microstrip hairpin bandpass filter for ISM band. I.J.A.R.E.E.I.E. 2016; 5:5529-5532.  | [15] Jin Xu, Wen Wu. Compact and Sharp Skirts Microstrip Dual-Mode Dual-Band Bandpass Filter Using a Single Quadruple-Mode Resonator (QMR). IEEE Transactions on Microwave Theory and Techniques 2013; 61:1104-1113.                 |
| [9]  | Darwis F., Permana D. Design and simulation of 456 MHz Bandpass Filter for Radar system. Proc. 6 <sup>th</sup> National Radar Seminar and International Conference on Radar Antenna Microwave Electronics and Telecommunications (ICRAMET); Bali; 2012; 68-72. |  |
| [10] | Boutejdar A., Omar A., Burte EP. et al. An Improvement of Defected Ground Structure Lowpass/Bandpass Filters   |  |

- [16] Chen D., Zhu L., Bu H., et al. Differential bandpass filter on dual-mode ring resonator with slotline feeding scheme. *Electronics Letters* 17<sup>th</sup> 2015; 51:1512–1514.
- [17] Misra A., Kumar M. Design Simulation and Analysis of Hairpin Filter using Defected Ground Structures. *IJSRT* 2018; 4:261-264.
- [18] Ludwig R., Bretschko P. RF Circuit Design Theory and Applications. Prentice Hall. New Jersey; 2000.
- [19] Kinayman N., Aksun MI. Modern Microwave Circuits. Artech House. Boston; 2005.
- [20] Gupta KC., Garg R., Bahl I., et al. Microstrip Line and Slotlines. Seconed Edition Artch House. Boston; 1996.
- [21] จักรพันธ์ อบมา, นิวัตร์ อังควิศิษฐ์พันธ์. การลดสัญญาณแทรกข้ามในสายส่งแบบไมโครสตริปความถี่ย่านไมโครเวฟ. *วารสารวิชาการ วิศวกรรมศาสตร์ มอ.* 2559; 9:118-130.
- [22] Peg B. Compact Quad-Mode Bandpass Filter Based on Quad-Mode DGS Resonator. *IEEE Microwave and Wireless Components Letters* 2016; 26:234-236.
- [23] Peg B. Wideband Bandpass Filter with High Selectivity Based on Dual-Mode DGS Resonator. *Microwave and Optical Technology Letter* 2016; 58:2300-2303.